

Chapitre 3

Induction Electromagnétique

Dans ce qui a précédé, nous avons vu qu'un courant électrique I produit un champ d'induction magnétique \vec{B} . Dans ce chapitre, nous montrons comment produire un courant électrique I à partir d'un champ \vec{B} extérieur. Il se trouve que le courant I produit n'est plus permanent; il dépend maintenant du temps $I = I(t)$; c'est à dire : $\frac{dI}{dt} \neq 0$.

3.1 Force électromotrice induite : *f.e.m*

3.1.1 Lois d'induction

On distingue 2 lois : *loi de Faraday* définissant la *f.e.m* induite; *loi de Lenz* concernant le sens du courant induit.

Ces 2 lois, intimement liées, reposent sur une variation non nulle du flux magnétique $\Phi(t) \sim B \times S$ au cours du temps

$$\frac{d\Phi}{dt} \neq 0 \quad (3.1)$$

a) *Loi de Faraday*

Une façon d'établir la loi d'induction de Faraday est de considérer l'expérience élémentaire suivante utilisant :

- une boucle de courant B constituée d'un fil conducteur relié à un galvanomètre comme dans la figure fig 3.1,
- un aimant, placé à proximité de la boucle, produisant un champ magnétique \vec{B} ou baigne le circuit B . Le champ \vec{B} est donc un champ extérieur au circuit.

Selon que l'on fixe l'aimant ou on le déplace à l'intérieur de la boucle, on observe le phénomène suivant :

- Lorsque l'aimant est *immobile*, soit un flux magnétique, $\Phi = \iint \vec{B} \cdot d\vec{S}$, indépendant du temps, $\frac{d\Phi}{dt} = 0$, il n'y a pas de courant dans le fil.
- Par contre, lorsqu'on déplace l'aimant à l'intérieur de la boucle, ce qui engendre un flux magnétique Φ variable dans le temps, $\frac{d\Phi}{dt} \neq 0$, on voit apparaître un courant $i = i(t)$ dont

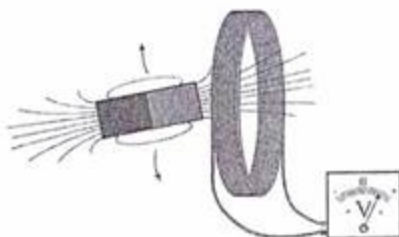


FIGURE 3.1 – variation du flux du champ d'induction magnétique

le signe varie selon qu'on approche ou qu'on éloigne l'aimant,

iii) Le courant $i(t)$ est d'autant plus important que le déplacement est rapide ; c'ad

$$\frac{d\Phi}{dt} \text{ grand} \rightarrow i(t) \text{ grand}$$

Résumons

	Aimant	variation $\frac{d\Phi}{dt}$	courant $i(t)$
i)	: immobile	$= 0$	$= 0$
ii)	: en mouvement	$\neq 0$	$\neq 0$

La variation du flux magnétique $\frac{d\Phi}{dt}$ induit un courant électrique $i(t)$ dans le conducteur. Ce courant induit est dû à une force électromotrice $e(t)$ appelée *f.e.m induite* et donnée par la relation suivante :

$$e(t) = -\frac{d\Phi}{dt} \quad \text{Loi de Faraday}$$

(3.2)

La fem $e(t)$ est exprimée en volt et Φ en Weber.

Le sens du courant induit $i(t)$ est donné par la *loi de Lenz*.

b) Loi de Lenz

Les effets du courant induit s'opposent aux causes qui lui ont donné naissance

illustration de cette loi :

Un solénoïde parcouru par un courant I placé en face d'un circuit fermé C comme dans la figure. Si I augmente, le champ $B_{\text{solen}} \sim \mu_0 NI$ produit par le solénoïde augmente et son flux $\Phi = B_{\text{solen}} \times S$ à travers le circuit C augmente ; c'ad $\frac{d\Phi}{dt} > 0$. D'où la naissance d'une *f.e.m induite* $e(t) = -\frac{d\Phi}{dt}$ et par conséquent un courant induit $i(t)$ dont le sens est tel qu'il crée un champ d'induction magnétique propre $\vec{B}_{\text{ind}} \neq \vec{0}$ dans le sens opposé à B_{solen} .

c) Remarques : sources de variation du flux

Pour un champ \vec{B} ne dépendant pas des coordonnées d'espace, et faisant un angle θ avec \vec{S} , le

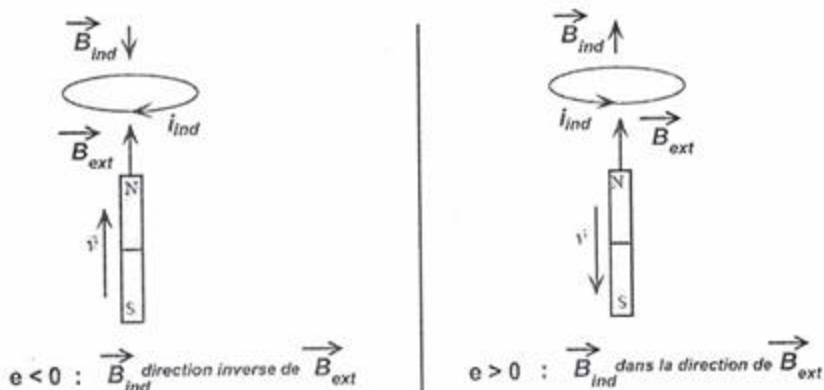


FIGURE 3.2 – illustration de la Loi de Lenz champ induit \vec{B}_{ind} est de sens opposé au champ \vec{B} qui lui a donné naissance : à gauche $\theta = 0$, à droite $\theta = \pi$

flux magnétique est alors égale à $BS \cos \theta$.

La variation de ce flux induit une f.e.m Φ donnée par :

$$e = \underbrace{-\frac{dB}{dt} S \cos \theta}_{\text{variation de B}} - \underbrace{B \frac{dS}{dt} \cos \theta}_{\text{variation de S}} + \underbrace{BS \sin \theta \frac{d\theta}{dt}}_{\text{variation de } \theta}$$

Pour le cas particulier d'angle θ constants, il existe 2 facons de varier le flux $\Phi = \Phi(t)$ et donc de produire une f.e.m $e(t)$:

- i) soit faire dépendre \vec{B} du temps : $\vec{B} = \vec{B}(t)$
- ii) faire dépendre la surface S du temps : $S = S(t)$

3.1.2 Champ électromoteur \vec{E}_m

L'existence d'un courant induit $i(t)$ dans le circuit fermé (C) (fig 3.1) montre l'existence d'un champ électromoteur \vec{E}_m qui agit sur les charges libres et dont la circulation le long de (C) est égale à la f.e.m induite

$$e = \oint_C \vec{E}_m \cdot d\vec{l} = -\frac{d\Phi}{dt}$$

Propriétés

- Le champ \vec{E}_m est différent du champ électrostatique

$$\vec{E}_m \neq \vec{E}_s = -\text{grad } V$$

Si l'on supposerait que $\vec{E}_m = \vec{E}_s$, on aura :

$$\oint_C \vec{E}_s \cdot d\vec{l} = - \oint_C \text{grad } V \cdot d\vec{l} = - \oint_C dV = 0$$

- \vec{E}_s et \vec{E}_m sont 2 termes constituant le champ électrique

$$\vec{E} = \vec{E}_s + \vec{E}_m$$

a) Equation de \vec{E}_m

D'après le théorème de Stokes, nous avons :

$$e = \oint_{C=\partial S} \vec{E}_m \cdot d\vec{l} = \iint_S \text{rot} \vec{E}_m \cdot d\vec{S} \quad \forall S$$

comparons avec la Loi de Fraday (S indépendante du temps)

$$\begin{aligned} e &= -\frac{d\Phi}{dt} = -\frac{d}{dt} \iint_S \vec{B} \cdot d\vec{S} \\ &= \iint_S \left(-\frac{\partial \vec{B}}{\partial t} \right) \cdot d\vec{S} \end{aligned}$$

il en découle

$$\text{rot} \vec{E}_m = -\frac{\partial \vec{B}}{\partial t}$$

Cette relation montre que \vec{E}_m est intimement lié à la variation de \vec{B} dans le temps.

b) relation entre \vec{E}_m et le potentiel vecteur \vec{A}

Remplaçons la relation $\vec{B} = \text{rot} \vec{A}$ dans l'équation précédente, nous obtenons

$$\text{rot} \vec{E}_m = -\text{rot} \frac{\partial \vec{A}}{\partial t} \Rightarrow \text{rot} \left(\vec{E}_m + \frac{\partial \vec{A}}{\partial t} \right) = \vec{0}$$

conduisant à

$$\vec{E}_m = -\frac{\partial \vec{A}}{\partial t} \quad , \quad \text{div} \vec{E}_m = -\frac{\partial \text{div} \vec{A}}{\partial t}$$

(3.3)

Dans une jauge arbitraire, nous avons également :

$$\text{rot} \left(\vec{E}_m + \frac{\partial \vec{A}}{\partial t} \right) = \text{rot grad } \varphi$$

avec φ une fonction scalaire arbitraire, ce qui donne en général

$$\vec{E}_m = -\frac{\partial \vec{A}}{\partial t} + \text{grad } \varphi$$

dans ce qui suit, on utilisera (3.3)

c) champ électrique \vec{E}

Le champ électrique \vec{E} en présence des charges statiques q et des courants de charges \vec{j} est donnée par

$$\vec{E} = \vec{E}_s + \vec{E}_m = -\text{grad } V - \frac{\partial \vec{A}}{\partial t}$$

Comme $\text{rot} \vec{E}_s = \vec{0}$, la forme différentielle de la loi de Faraday s'écrit

$$\text{rot} \vec{E} = -\frac{\partial \vec{B}}{\partial t} \quad \text{Maxwell - Faraday}$$

3.1.3 Circuit C en mouvement

On distingue 2 cas :

- pas de variation du champ $\frac{\partial \vec{B}}{\partial t} = \vec{0}$; et
- une variation non nulle $\frac{\partial \vec{B}}{\partial t} \neq \vec{0}$

a) C dans un champ externe \vec{B} uniforme

Considérons un circuit filiforme C se déplaçant avec une vitesse \vec{v} dans un champ d'induction magnétique externe \vec{B} uniforme $\frac{\partial \vec{B}}{\partial t} = \vec{0}$. Pendant un temps dt , le déplacement $d\vec{r} = \vec{v}dt$ engendre une surface cylindrique

$$S = C(t) \times \vec{v}dt$$

ayant pour base $C(t)$ et $C(t+dt)$ et une variation du flux

$$d\Phi = \Phi(t+dt) - \Phi(t)$$

qui n'est autre que le flux à travers la surface latérale $\vec{B} \cdot d\vec{S}$ avec $d\vec{S}$ comme montré sur la figure, soit :

$$d\vec{S} = dS\vec{n} = d\vec{r} \wedge d\vec{l} = \vec{v}dt \wedge d\vec{l}$$

On a aussi

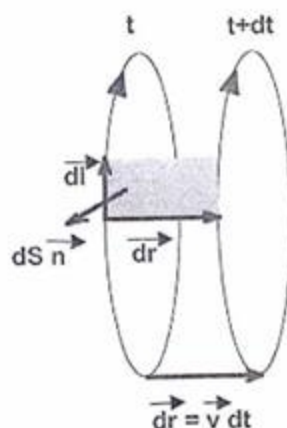
$$\frac{d\vec{S}}{dt} = \vec{v} \wedge d\vec{l} \equiv d\vec{\sigma} \Leftrightarrow d\vec{S} = dt d\vec{\sigma}$$

Les charges libres du circuit sont soumises à la force de la place $\vec{F}_m = q\vec{v} \wedge \vec{B}$ reliée au champ électromoteur comme suit,

$$\vec{F}_m = q\vec{E}_m, \quad \vec{E}_m = \vec{v} \wedge \vec{B}$$

La f.e.m induite, dû au déplacement du circuit, est alors

$$\begin{aligned} e &= \oint_C \vec{E}_m \cdot d\vec{l} \\ &= \oint_C (\vec{v} \wedge \vec{B}) \cdot d\vec{l} \\ &= - \oint_C (\vec{v} \wedge d\vec{l}) \cdot \vec{B} \end{aligned}$$

FIGURE 3.3 – circuit électrique en mouvement dans une induction magnétique \vec{B} uniforme.

D'autre part, substituons $\vec{v} \wedge d\vec{l} = d\vec{\sigma}$, on obtient

$$\begin{aligned} e &= - \oint_C d\vec{\sigma} \cdot \vec{B} \\ &= - \frac{d}{dt} \left(\iint_{S_L} d\vec{S} \cdot \vec{B} \right) \\ &= - \frac{d\Phi_L}{dt} \end{aligned}$$

avec S_L surface latérale du cylindre engendré par le mouvement de C .

b) C dans un champ externe \vec{B} variable

La f.e.m induite $e = -\frac{d\Phi}{dt}$ est la somme de 2 termes

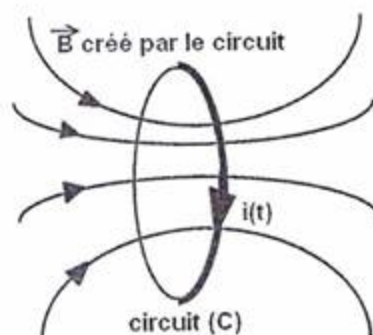
$$e = \underbrace{- \oint_C (\vec{v} \wedge d\vec{l}) \cdot \vec{B}}_{\text{flux coupé}} + \underbrace{\iint_S \left(-\frac{\partial \vec{B}}{\partial t} \right) \cdot d\vec{S}}_{\text{circulation de } \vec{E}_m}$$

Le premier terme est dû au *flux coupé* lors du déplacement du circuit; le deuxième décrit la circulation d'un champ électromoteur associé à la variation temporelle de \vec{B} .

3.2 Inductance propre et inductance mutuelle

3.2.1 Inductance propre

Considérons un circuit filiforme (C) parcouru par un courant $i(t)$; ce circuit est traversé par son propre flux Φ ; c'est le flux du champ \vec{B} créé par le courant $i(t)$ qui traverse (C). On pose

FIGURE 3.4 – inductance propre L du circuit C

$$\Phi = Li$$

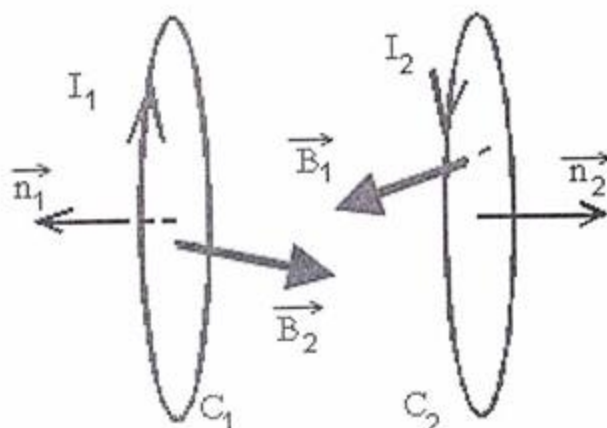
ou L est le *coefficient d'inductance propre* ou self inductance du circuit. Ce coefficient ne dépend que de la géométrie du circuit et se mesure en Henrys.

Une variation du courant à travers le circuit produit une variation du flux Φ ; et donc une *f.e.m* induite

$$e(t) = -\frac{d\Phi}{dt} = -L\frac{di}{dt}$$

3.2.2 Inductance mutuelle

Soient 2 circuits (C_1) et (C_2) parcourus par des courants i_1 et i_2 comme dans la figure Cherchons

FIGURE 3.5 – inductance M mutuelle M entre C_1 et C_2

le flux Φ_{21} du champ créé par C_1 à travers C_2

$$\begin{aligned}\Phi_{21} &= \iint_{S_2} \vec{B}_1 \cdot d\vec{S}_2 = \iint_{S_2} \text{rot} \vec{A}_1 \cdot d\vec{S}_2 = \oint_{C_2} \vec{A}_1 \cdot d\vec{l}_2 \\ &= \oint_{C_2} \left[\oint_{C_1} \frac{\mu_0 i_1}{4\pi r} d\vec{l}_1 \right] \cdot d\vec{l}_2 = \left(\oint_{C_2} \oint_{C_1} \frac{\mu_0 d\vec{l}_1 \cdot d\vec{l}_2}{4\pi r} \right) i_1 = M_{21} \times i_1\end{aligned}$$

avec M_{21} le coefficient d'induction mutuelle entre les 2 circuits donnée par la formule de Neumann

$$M_{21} = \frac{\mu_0}{4\pi} \oint_{C_2} \oint_{C_1} \frac{d\vec{l}_1 \cdot d\vec{l}_2}{r}$$

De même nous avons

$$\Phi_{12} = M_{12} i_2, \quad M_{21} = M_{12} = M$$

Ce coefficient ne dépend que de la géométrie du circuit et se mesure aussi en Henrys.

La fem e_{21} induite dans le circuit C_2 (resp C_1) par une variation du courant i_1 (resp i_2) est :

$$\begin{aligned}e_{21} &= -\frac{d\Phi_{21}}{dt} = -M \frac{di_1}{dt} \\ e_{12} &= -\frac{d\Phi_{12}}{dt} = -M \frac{di_2}{dt}\end{aligned}$$

Le flux total à travers le circuit C_1 (resp C_2) s'écrit

$$\begin{aligned}\Phi_1 &= \Phi_{11} + \Phi_{12} = L_1 i_1 + M i_2 \\ \Phi_2 &= \Phi_{22} + \Phi_{21} = M i_1 + L_2 i_2\end{aligned}$$

qu'on peut écrire sous forme matricielle

$$\begin{pmatrix} \Phi_1 \\ \Phi_2 \end{pmatrix} = \begin{pmatrix} L_1 & M \\ M & L_2 \end{pmatrix} \begin{pmatrix} i_1 \\ i_2 \end{pmatrix}$$

3.3 Energie emmagasinée dans une induction magnétique

Une façon de déterminer l'énergie W emmagasinée dans un champ d'induction magnétique \vec{B} est de calculer l'énergie fournie W par un générateur \mathcal{G} à un circuit électrique (C) isolé pour faire parcourir un courant i ou de façon équivalente une densité courant \vec{j} .

3.3.1 Calcul des composantes W_{elec} et W_{mag} de l'énergie

Considérons un élément de volume du circuit C

$$d\tau = dS \cdot dl$$

et imaginons $d\tau$ un élément de volume cylindrique d'axe \vec{e}_x , de section $\vec{dS} = dS \vec{e}_x$ et de longueur $\vec{dl} = dx \vec{e}_x$ comme représentée dans la fig 3.3. Pour qu'un courant

$$i = \vec{j} \cdot \vec{dS} = j dS, \quad \vec{j} = j \vec{e}_x$$

rentre de la face gauche F_1 du fil cylindrique et sort complètement de la face droite F_2 , il faut que le générateur \mathcal{G} maintienne une ddp égale dV non nulle entre les faces; c'est à dire :

$$V_1 - V_2 = -dV = -\vec{\text{grad}}V \cdot \vec{dl}$$

a) énergie dW reçu par C

Pendant un temps dt , l'élément de circuit reçoit alors une énergie dW donnée par

$$\begin{aligned} dW &= -dV \times i \times dt \\ &= -dV \times j dS \times dt \end{aligned}$$

soit

$$dW = -\vec{j} \cdot \vec{\text{grad}}V \times d\tau \times dt$$

b) Puissances \mathcal{P}_{ele} et \mathcal{P}_{mag}

En utilisant la relation

$$\vec{E} = -\vec{\text{grad}}V - \frac{\partial \vec{A}}{\partial t}$$

on peut re-écrire la relation précédente comme

$$d\mathcal{P} = \frac{dW}{dt} = \vec{j} \cdot \left(\vec{E} + \frac{\partial \vec{A}}{\partial t} \right) d\tau$$

L'énergie totale par unité de temps fournie par le générateur à un volume \mathcal{V} est alors

$$\mathcal{P} = \underbrace{\iiint_{\mathcal{V}} \vec{j} \cdot \vec{E} d\tau}_{\mathcal{P}_{ele}} + \underbrace{\iiint_{\mathcal{V}} \vec{j} \cdot \frac{\partial \vec{A}}{\partial t} d\tau}_{\mathcal{P}_{mag}}$$

avec

$$\mathcal{P}_{ele} = \iiint_{\mathcal{V}} \vec{j} \cdot \vec{E} d\tau, \quad \mathcal{P}_{mag} = \iiint_{\mathcal{V}} \vec{j} \cdot \frac{\partial \vec{A}}{\partial t} d\tau$$

et où nous avons remplacé $\vec{j} = \sigma \vec{E}$ avec σ la conductivité du fil. Le terme \mathcal{P}_{ele} est la puissance dissipée par effet joules dans le volume \mathcal{V} . Le terme \mathcal{P}_{mag} représente puissance emmagasinée dans le champs magnétique.

3.3.2 Energie magnétique W_{mag}

a) W_{mag} en fonction de \vec{B}

Pour obtenir l'expression de l'énergie magnétique W_{mag} en fonction du champs d'induction \vec{B} , on part de la relation

$$\mathcal{P}_{mag} = \iiint_V \vec{j} \cdot \frac{\partial \vec{A}}{\partial t} d\tau$$

et on remplace \vec{j} en utilisant la relation $\text{rot} \vec{B} = \mu_0 \vec{j}$, on a :

$$\begin{aligned} \mathcal{P}_{mag} &= \frac{1}{\mu_0} \iiint_V \left(\frac{\partial \vec{A}}{\partial t} \cdot \text{rot} \vec{B} \right) d\tau \\ &= \frac{1}{\mu_0} \iiint_V \vec{B} \cdot \frac{\partial}{\partial t} (\text{rot} \vec{A}) d\tau + \frac{1}{\mu_0} \iiint_V \text{div} \left(\frac{\partial \vec{A}}{\partial t} \wedge \vec{B} \right) \end{aligned}$$

En remplaçant $\vec{B} = \text{rot} \vec{A}$ et en ignorant le terme de divergence vu que c'est un effet de bord, on obtient

$$W_{mag} = \iiint_V \frac{\vec{B}^2}{2\mu_0} d\tau \quad (3.4)$$

et d'où la densité d'énergie magnétique

$$\frac{dW_{mag}}{d\tau} = \frac{\vec{B}^2}{2\mu_0}$$

b) W_{mag} en fonction de \vec{j} et \vec{A}

Pour obtenir cette relation, on utilise la propriété de dérivation

$$\vec{\nabla} \cdot (\vec{A} \wedge \vec{B}) = \vec{B} \cdot (\vec{\nabla} \wedge \vec{A}) - \vec{A} \cdot (\vec{\nabla} \wedge \vec{B}) = \vec{B}^2 - \vec{A} \cdot (\vec{\nabla} \wedge \vec{B})$$

ce qui donne

$$\vec{B}^2 = \vec{A} \cdot (\vec{\nabla} \wedge \vec{B}) + \vec{\nabla} \cdot (\vec{A} \wedge \vec{B}) = \mu_0 \vec{A} \cdot \vec{j} + \text{div}(\vec{A} \wedge \vec{B})$$

Remplaçons dans (3.4), on obtient

$$\begin{aligned} W_{mag} &= \iiint_V \frac{\vec{A} \cdot \vec{j}}{2} d\tau + \frac{1}{2\mu_0} \iiint_V \text{div}(\vec{A} \wedge \vec{B}) d\tau \\ &= \iiint_V \frac{\vec{A} \cdot \vec{j}}{2} d\tau + \frac{1}{2\mu_0} \iint_{\partial V} \vec{A} \wedge \vec{B} d\tau \\ &= \iiint_V \frac{\vec{A} \cdot \vec{j}}{2} d\tau + \text{un terme de bord} \end{aligned}$$

d'où

$$W_{mag} = \frac{1}{2} \iiint_V \vec{A} \cdot \vec{j} d\tau$$

et

$$\frac{dW_{mag}}{d\tau} = \frac{1}{2} \vec{A} \cdot \vec{j}$$

c) W_{mag} en fonction du courant I et Φ

Dans le cas d'un circuit filiforme, on peut remplacer

$$\vec{j} d\tau \rightarrow I d\vec{l}$$

on a alors

$$\begin{aligned} W_{mag} &= \frac{1}{2} \oint_{\text{circuit}} I d\vec{l} \cdot \vec{A} \\ &= \frac{1}{2} \iiint_{\text{surface}} \vec{dS} \cdot \text{rot} \vec{A} = \frac{1}{2} \iiint_{\text{surface}} \vec{B} \cdot \vec{dS} \end{aligned}$$

soit

$$W_{mag} = \frac{1}{2} I \Phi$$

d) W_{mag} en fonction des courants et des inductances

cas d'un circuit

$$\Phi = LI \Rightarrow W_{mag} = \frac{1}{2} LI^2$$

cas de 2 circuits C_1 et C_2

$$W_{mag} = \frac{1}{2} I_1 \Phi_1 + \frac{1}{2} I_2 \Phi_2$$

remplaçons

$$\Phi_1 = \Phi_{11} + \Phi_{12} = L_1 I_1 + M I_2$$

$$\Phi_2 = \Phi_{21} + \Phi_{22} = L_2 I_2 + M I_1$$

on obtient

$$W_{mag} = \frac{1}{2} L_1 I_1^2 + \frac{1}{2} L_2 I_2^2 + M I_1 I_2$$

3.4 Applications

L'induction électromagnétique est très utilisée dans les machines électriques qui convertissent une forme d'énergie en une autre forme à l'exemple de :

- i) l'énergie mécanique en énergie électrique (alternateurs, générateurs de courant continu),
- ii) l'énergie électrique en énergie mécanique (moteurs électriques),
- iii) l'énergie électrique en une autre forme de l'énergie électrique plus accessible (transformateurs).

Exemple :

Un transformateur de mesure dans lequel la tension secondaire u_2 est pratiquement proportionnelle à la tension primaire u_1 et déphasée par rapport à celle-ci d'un angle voisin de zéro. Ce transformateur est formé de :

- un enroulement primaire de N_1 spires, de résistance R_1 et d'inductance L_1 ,
- un enroulement secondaire de N_2 spires, de résistance R_2 et d'inductance L_2 ,
- un circuit magnétique en tôle feuilletée pour assurer la circulation du flux magnétique. Il relie magnétiquement les enroulements primaire et secondaire, fig 3.6.

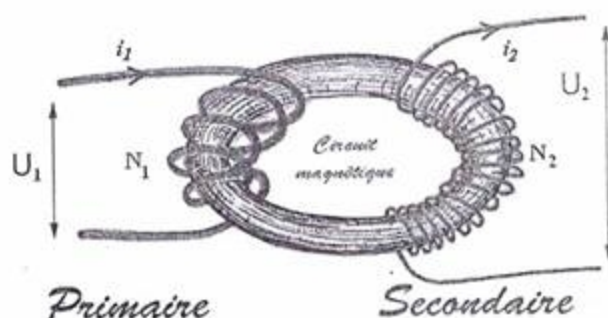


FIGURE 3.6 – Transformateur de tension

Lorsque le primaire est alimenté par une tension alternative $u_1(t)$, il s'établit par spire un flux $\phi(t)$ alternatif qui traverse le secondaire aux bornes duquel apparaît une force électromotrice induite $e_2(t)$ obéissant la loi de Lenz

$$e_2(t) = -N_2 \frac{d\phi}{dt}$$

Si on néglige la résistance R_1 du primaire et la R_2 du secondaire, on peut écrire :

$$\begin{aligned} u_1 &\simeq e_1(t) = -N_1 \frac{d\phi}{dt} \\ u_2 &\simeq e_2(t) = -N_2 \frac{d\phi}{dt} \end{aligned}$$

Le rapport $r = \frac{u_2}{u_1}$ de transformation est alors

$$\frac{u_2}{u_1} = \frac{N_2}{N_1} \Rightarrow u_2 = \frac{N_2}{N_1} \times u_1$$

exemple : les transformateurs $u_1 = 60kV$ et $u_2 = 20kV$.